

نهشته‌های پیراکشنده و توفانی در بُرش الگوی سازند خانه کت، تربیاس زاگرس بلند، خاور شیراز

علی حسین جلیلیان

استادیار گروه زمین‌شناسی، دانشگاه پیام نور، ایران

تویسته مسئول: jalilian@pnu.ac.ir

دربافت: ۹۵/۵/۵ پذیرش: ۹۵/۷/۱۰

چکیده

سازند خانه کت معرف رخساره‌های کریناته تربیاس در زیرپهنه زاگرس بلند است. برای تشخیص رخساره‌ها و بازسازی محیط رسوب‌گذاری این سازند بُرش الگوی آن به ضخامت ۶۹۱ متر در ۱۱۰ کیلومتری خاور شیراز مورد مطالعه قرار گرفت. بررسی دقیق شواهد میدانی و آزمایشگاهی نشان داد توالی رسوبی تربیاس در تاقدیس خانه کت عمدتاً از سنگ آهک و دولومیت‌هایی تشکیل شده است که با وجود استروماتولیت‌ها، ترک‌های گلی، کانی‌های تبخیری، برش‌های انحلالی و آثار ناشی از خروج مکرر رسوبات از آب در بخش کم عمق و نسبتاً آرام یک پلاتفرم نهشته شده‌اند. این رسوبات عمدتاً محصول چرخه‌های کم عمق شونده میان کشنده فراکشنده (سیخا) هستند که در یک پهنه کشنده با آب و هوای گرم و خشک بارها و بارها تکرار شده‌اند. در بعضی افق‌ها روند عادی توالی رخساره‌ها با وجود لایه‌های ناشی از توفان دچار تغییر شده است. بودن علائمی مثل سطح زیرین فرمایشی، دانه‌بندی تدریجی، اینترکلاست‌های کنده شده از واحد زیرین و لایه‌بندی مورب پشت‌های وجود نهشته‌های توفانی را تأیید می‌کنند. این شواهد نشان می‌دهند که مجموعه رسوبات سازند خانه کت در بخش داخلی یک پلاتفرم باز متأثر از توفان به وجود آمده است. مقایسه این شرایط با محیط تشکیل رسوبات همزمان در نواحی پیرامون زاگرس از گسترش زیاد پلاتفرم یاد شده و بودن یک دریای اپریک در تربیاس این مناطق حکایت می‌کند. افزایش مشخص رسوبات تبخیری و آواری در جنوب گسل زاگرس بلند ضمن آشکار سازی نقش این عارضه ساختاری در کنترل هندسه حوضه و تغییر رخساره‌ها، گویای نزدیک بودن به ساحل و محدودیت محیط این بخش از حوضه آن زمان است. در مقابل، کاهش واردات آواری و تبخیری‌ها و بودن نهشته‌های توفانی بیشتر توسعه بیشتر محیط دریایی در منطقه زاگرس بلند است که با شبیه سیار ملایم به سمت شمال گسترش یافته و با اقیانوس نوئوتیس مرتبه بوده است.

واژه‌های کلیدی: نهشته‌های توفانی، پیراکشنده، سازند خانه کت، زاگرس بلند

۱- مقدمه

مختلف و جریان‌های کشنده رسوبات را به مناطق نزدیک ساحل منتقل کرده و ضمن ایجاد ساخت و بافت‌های جدید دوباره تهشیست می‌کنند [۳۶]. کشنده‌سنگ‌ها^۱ یا کرینات‌های پیراکشنده^۲ محصول جریان‌های کشنده هستند و به عنوان یکی از متداول‌ترین رسوبات پلاتفرم‌های عهد حاضر و گذشته همواره مورد توجه بوده‌اند [۴۰ و ۴۶]. علاوه بر کشنده‌سنگ‌ها، نهشته‌های حاصل از امواج توفانی یا تمپستایت‌ها^۳ هم یخشی قابل توجهی از توالی‌های رسوبی بعضی فلات قاره‌های آواری و کریناته را به خود اختصاص داده‌اند [۳۳]. البته توالی‌های نسبتاً کامل متشکل از

سنگ‌های کریناته بین ۲۰ تا ۲۵ درصد از کل توالی‌های رسوبی را تشکیل می‌دهند و عمدتاً در محیط‌های دریایی و به خصوص فلات قاره‌ها به وجود آمده‌اند [۱۷ و ۲۵]. از میان عوامل گوناگون مؤثر در رسوب‌گذاری تکتونیک، آب و هوا، فرایندهای زیستی، جریان‌های کشنده، امواج و توفان در تشکیل کرینات‌ها اهمیت بیشتری دارد. در فلات قاره‌های کریناته یا پلاتفرم‌ها بیشترین تولید و انباست رسوب در مناطق کم عمق و روشن اتفاق می‌افتد که شرایط برای فعالیت جانداران مختلف فراهم است [۵۶].

توالی‌های ضخیم کریناته عمدتاً محصول این قسمت از پلاتفرم‌ها هستند که به کارخانه کرینات‌سازی معروف است. بیشترین تولید کرینات در منطقه فرو کشنده (پایین‌تر از میانگین حد جزر) اتفاق می‌افتد: اما امواج

¹ Tidalites

² Pertidal

³ Tempestites

است [۵۴]. به همین خاطر، سازند خانه‌کت تنها در نواحی محدودی از حاشیه شمالی رشته کوه زاگرس محفوظ مانده و در تاقدیس‌های عمیقاً فرسایش یافته رخمنون دارد. به استثنای تاقدیس سورمه در زاگرس چین‌خورده همه واحدهای سنگ‌چینه‌ای کهنه‌تر از کرتاسه تنها در مناطق سخت گذر زاگرس بلند پروژد دارند و به همین خاطر دسترسی به آن‌ها با دشواری‌های زیاد همراه است. در مناطق واقع در جنوب گسل زاگرس بلند یا اضافه شدن ردیف‌های تیخیری، رسوبات تریاس به سازندهای کنگان (تریاس زیرین) و دشتک (تریاس میانی-بالایی) تغییر رخساره می‌دهند [۱۴ و ۵۱]. در البرز و ایران مرکزی هم سازند خانه‌کت به ترتیب با سازند الیکا و مجموعه دو سازند شتری و سرخ شیل هم‌ارز است [۱]. واحدهای سنگ‌چینه‌ای معادل سازند خانه‌کت در شکل ۲ معرفی شده‌اند.

۳- روش مطالعه

در این مطالعه یک پُرش سطحی از کربنات‌های سازند خانه‌کت در ناحیه الگو مورد بررسی قرار گرفت. این پُرش در تنگ دهنه قنیری در یال جنوبی تاقدیس کوه خانه‌کت و به فاصله ۱۱۰ کیلومتری خاور شیراز (در مسیر جاده شیراز به نیریز) واقع شده است. در ارتباط با ضخامت و سن نهشته‌های تریاس در این محل در منابع گوناگون نظرات متفاوتی بیان شده است. به عنوان نمونه چیمز وایند [۳۴] و مطیعی [۱۱] ضخامت مورد نظر را کمی بیش از ۳۶۴ متر، غضبان [۷] به نقل از چیمز و وايند حدود ۴۰۰ متر و الشرهان و نایرن [۱۵] آن را ۵۵۰ متر اعلام کرده‌اند. با این شرایط لزوم انجام مطالعات دقیق چینه‌شناسی برای تعیین ضخامت و حتی سن واقعی این سازند ضروری به نظر می‌رسد. در هر صورت، شواهد روی زمین حاکی از آن است که سپرای توالی رسوبی تریاس در تاقدیس خانه‌کت بیشتر از مقدار گفته شده و حدود ۶۹۱ متر است. سنگ‌های آهکی کرم تا قهقهه‌ای و دولومیت‌های خاکستری تا سیاه رنگ تازک تا متوسط لایه پدته اصلی پُرش الگوی سازند خانه‌کت را تشکیل می‌دهند که در پخش‌های پایین یا کربنات‌های رسی و تناوب‌های شیلی و پرش‌های اتحالی همراه هستند (شکل ۳). مرز زیرین سازند خانه‌کت در ناحیه الگو پوشیده است، اما حد بالایی آن با دولومیت و

نهشته‌های توفانی قدیمی کمتر محفوظ مانده‌اند و معمولاً با وقوع توفان‌های بعدی و یا توسط فرایندهای پس از رسوب‌گذاری دچار تغییر شده‌اند [۵۰]. نهشته‌های توفانی به عنوان معیاری ارزشمند در مطالعات جغرافیای دیرینه و بازسازی شرایط رسوب‌گذاری به خصوص تعیین عمق محیط‌های دریایی گذشته و تکامل حوضه‌های رسوبی مورد توجه هستند [۳۱ و ۴۴]. در این مقاله شواهد مربوط به رسوبات پیراکشندی و نهشته‌های توفانی در پُرش الگوی سازند خانه‌کت (تریاس) در زاگرس بلند مورد بررسی قرار خواهند گرفت. سعی بر آن است تا ضمن مقایسه این رسوبات با رخساره‌های هم‌زمان در سایر مناطق از جمله زاگرس چین‌خورده و خلیج فارس نوع پلاتiform و الگوی کلی حوضه رسوبی تریاس در زاگرس بازسازی گردد و عوامل کنترل کننده توزیع رخساره‌ها مورد بحث قرار گیرند. لازم به ذکر است که تا پیش از این سازند خانه‌کت در این ناحیه از دیدگاه رسوب‌شناسی به خصوص شناخت رخساره‌ها و بازسازی محیط رسوبی مطالعه نشده بود.

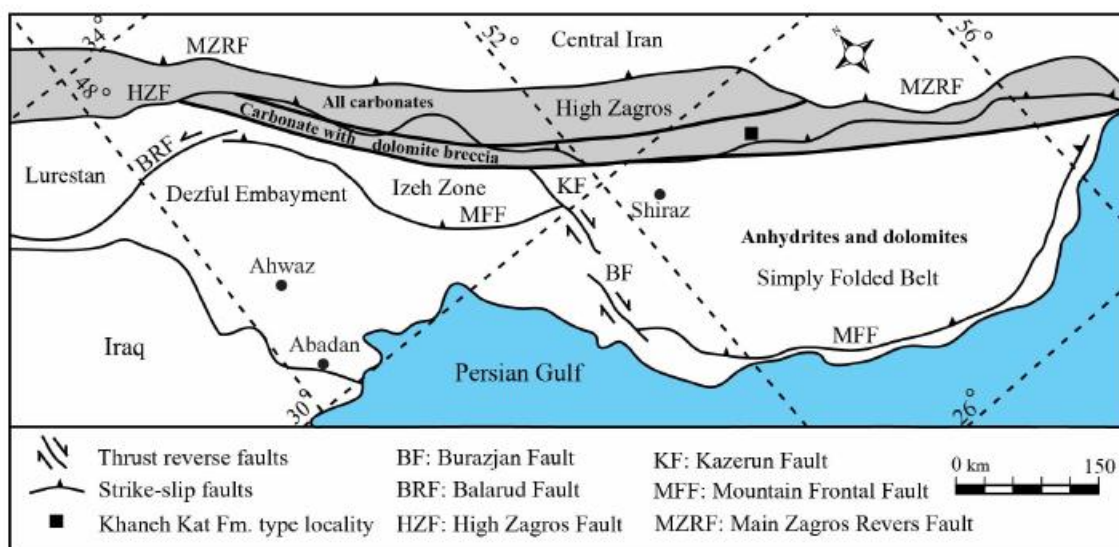
۲- زمین‌شناسی منطقه مورد مطالعه

تاقدیس خانه‌کت و نواحی پیرامون آن در منطقه فارس داخلی و یا به بیان دقیق‌تر در محدوده خاوری زاگرس بلند قرار دارند (شکل ۱). زاگرس بلند نواری کم پهنای (حداکثر ۸۰ کیلومتر) است که مرتفع ترین نقاط زاگرس را در پر گرفته و یا وجود راندگی‌های متعدد به نام زیرهنه راندگی‌ها نیز شناخته می‌شود. حد جنوبی این منطقه به گسل زاگرس بلند^۴ می‌رسد و در شمال با راندگی اصلی زاگرس از ایران مرکزی جدا می‌شود [۱۶]. منظور از زاگرس خاوری یا ایالت فارس مناطقی است که در خاور گسل کازرون-پرازجان واقع شده‌اند و تا تنگه هرمز و گسل میناب گسترش دارند [۵۲]. کهنه‌ترین سنگ‌های رخمنون یافته در ناحیه مورد مطالعه، دولومیت‌های هوازده خاکستری تا سیاه رنگ منسوب به سازند خانه‌کت است که با مجموعه‌ای نسبتاً کامل به ضخامت چند هزار متر از نهشته‌های مزوژوئیک و سنوژوئیک ادامه می‌یابد. به دلیل فرسایش ناشی از بالا آمدگی ناحیه‌ای و رویداد تکتونیکی پیش از ژوراسیک، پخش عمده رسوبات تریاس در زاگرس بلند از بین رفته

^۴ High Zagros Fault (HZF).

مرحله، چزئیات مربوط به پتروگرافی نمونه‌ها از جمله ترکیب، بافت و تنوع و تغییر ریزخسارهای مورد توجه قرار گرفت تا شواهدی به دست آمده از بررسی‌های میدانی کامل شود. نام‌گذاری سنگ‌های کریناته بر اساس طبقه‌بندی بافتی دانهام [۲۲] انجام شد و برای تعیین محیط رخسارهای گوناگون از معیارهای تعیین شده توسط ویلسون [۵۶]، رید [۴۷]، پورچت و رایت [۱۸]، فلوگل [۲۶] و دیویس و دالریمپل [۲۰] استفاده گردید.

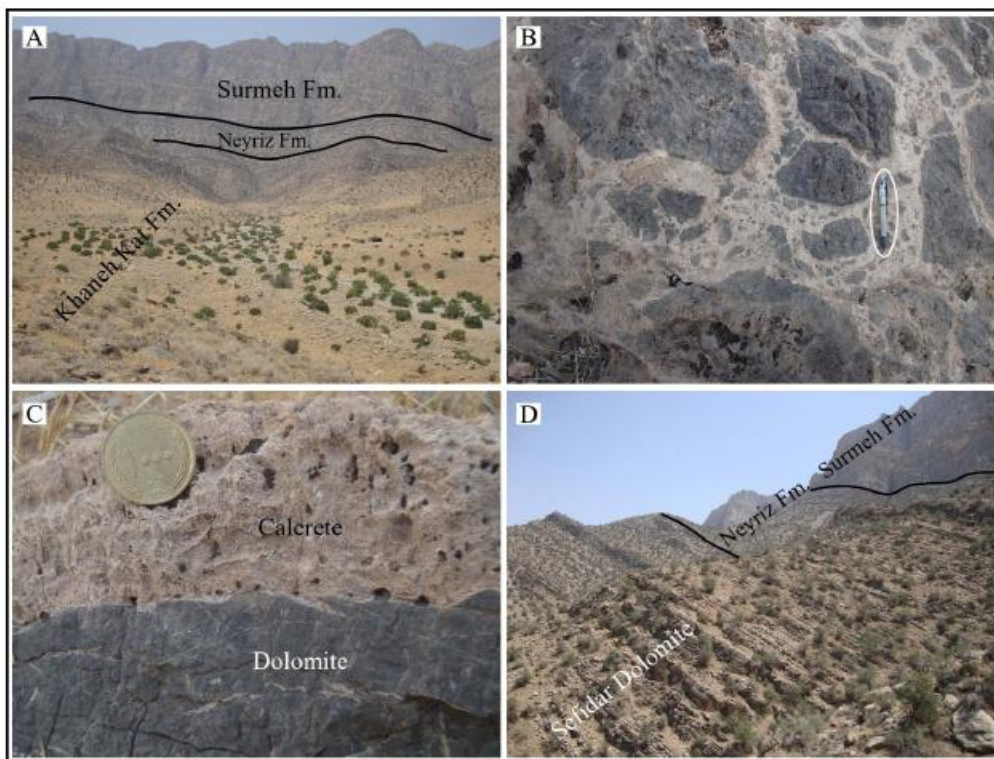
شیل‌های سازند نیز (زوراسیک زیرین) تأثیروسطه است [۵۴]. در مطالعات میدانی ضمن بررسی تغییرات عمودی و جانبی رخسارهای خصوص تغییرات منظم ضخامت توالی‌های رسوبی و مرز بین واحدهای آن‌ها، در مجموع تعداد ۲۴۵ نمونه دستی پرداشت گردید. از این نمونه‌ها تعداد ۲۲۰ مقطع نازک تهیه شد و همراه با ۳۰۰ مقطع نازک دیگر که قبلاً توسط کارشناسان پخش زمین‌شناسی شرکت نفت تهیه شده بود، در مجموع ۵۲۰ مقطع نازک با میکروسکوپ پلاریزان مورد بررسی قرار گرفتند. در این



شکل ۱. واحدهای زمین‌ساختی ارسوبی زاگرس که برآنگری رخسارهای مختلف زمان تربیas در آن‌ها نشان داده است. پخش خاکستری رنگ، محدوده زاگرس بلند است و موقعیت پیش‌الگوی سازند خانه‌کت در آن با مریع سیاه رنگ مشخص شده است [بر اساس داده‌های ۱۶ و ۵۱].

System	Series	Alborz	Central Iran	High Zagros	Folded Zagros	Persian Gulf	Saudi Arabia
Triassic	U	Lower Shemshak	Nayband	Khaneh Kat	Dashtak	Sudair	Sudair
	M	Middle and Upper Elika	Shotori			Jilh	Jilh
	L	Lower Elika	Sorkh Shale		Kangan	Upper Khuff	Minjur

شکل ۲. همارزی واحدهای سنگ چینه‌ای تربیas در مناطق مختلف ایران، خلیج فارس و عربستان [بر اساس داده‌های ۱۵، ۳۹ و ۵۴].



شکل ۳. تصاویر میدانی از رخنمون‌های مژوزونیک در ناقدیس خانه کت: (A) نمای کلی از هسته ناقدیس خانه کت و پُرش الگوی سازند خانه کت که از ضخامت قابل توجهی برخوردار است، نگاه دوربین به سمت جنوب؛ (B) رخساره پرش‌های انحلالی که در پخش آغازین سازند خانه کت بسیار متداول است؛ (C) سطح فرباسیشی و تشکیل خاک آهکی (کالکریت یا گالبجی) ناشی از خروج رسوبات از آب و (D) پخش دولومیتی سفیدار در انتهای توالی رسوبی سازند خانه کت و پُرش الگوی سازند نیریز که با کرینات‌های ستبر و کوه ساز واحد کرینات زیرین سازند سورمه (زوراسیک) پوشیده شده‌اند.

روزانه جهت چریان در قالب چرخه‌های کشنندی است: به گونه‌ای که در زمان مدد جهت چریان از دریا به خشکی و در هنگام جزر عکس آن اتفاق می‌افتد. ماهیت چرخه‌ای و تقریباً منظم حرکات کشنندی سبب شده رسوبات این محیط‌ها ساختار تکراری یا ریتمی از خود نشان دهند. به گونه‌ای که می‌توان وجود طبقات ریتمی یا تناوب‌های کشنندی را به عنوان شاخص‌ترین ویژگی کشنندستگ‌ها مطرح کرد. تغییر ضخامت واحدهای رسوبی نشان‌دهنده تغییر سرعت و انزوی چریان در چرخه‌های کشنندی متواലی است [۱۹ و ۳۸]. پهنه‌های کشنندی قسمت اصلی پخش داخلی پلاتیفرم‌های کریناته به خصوص رمپ‌ها را تشکیل می‌دهند [۱۸ و ۵۵].

نتایج این تحقیق نشان داد که پخش عمده تهشیتهای سازند خانه کت در پُرش الگو را کرینات‌های پیراکشنندی تشکیل داده‌اند و به همین خاطر در معرفی آن‌ها از حرف P استفاده شده است. لایه‌های نازک و لامینه‌های مادستون آهکی و مادستون دولومیتی شده و لامینه‌های

مطالعات میدانی و تجزیه و تحلیل داده‌های پتروگرافی نمونه‌های مختلف تهیه شده از پُرش الگوی سازند خانه کت به شناخت مجموعه‌ای از رخساره‌های کریناته منجر گردید که بر اساس وجود نشانه‌های ناشی از امواج توفانی به دو دسته رخساره‌های توفانی و غیر توفانی یا پیراکشنندی تفکیک شدند.

۴- بحث

منظور از رخساره‌های غیر توفانی، رسوباتی است که در شرایط معمولی حاکم بر محیط دریا نهشته شده‌اند. قسمت عمده این رسوبات توسط فرایندهای مرتبط با امواج عادی^۱ و یا چریان‌های کشنندی در فلات قاره‌ها و پهنه‌های کشنندی به وجود آمده‌اند [۳۵]. ویژگی منحصر به فرد محیط‌های متأثر از چریان‌های کشنندی تغییرات

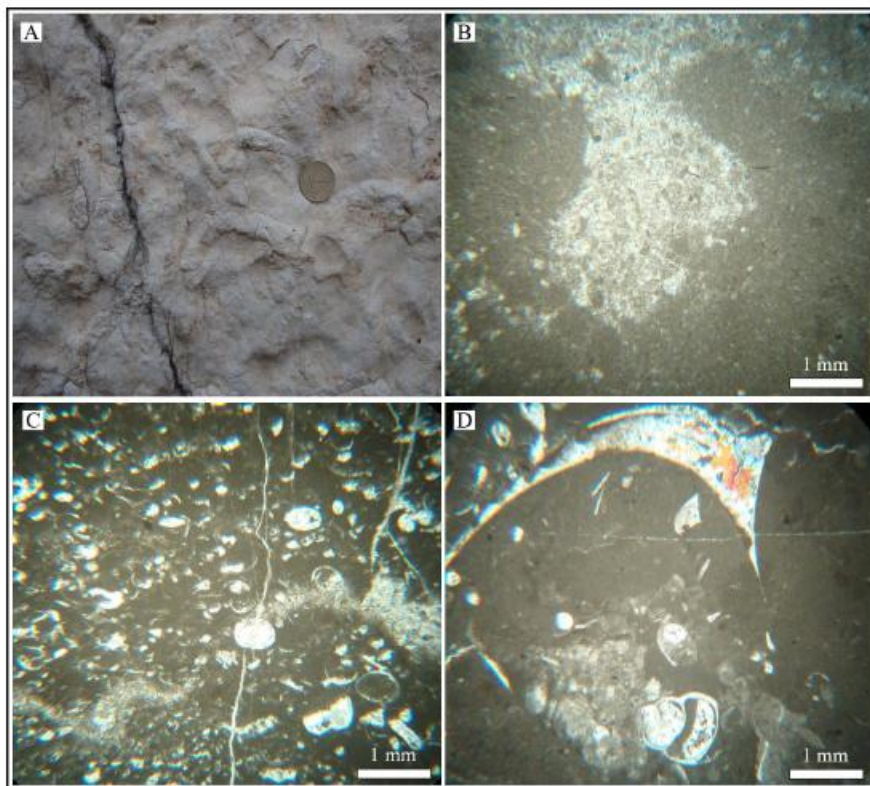
۴-۱- دسته رخساره‌های پیراکشنندی

منظور از رخساره‌های غیر توفانی، رسوباتی است که در شرایط معمولی حاکم بر محیط دریا نهشته شده‌اند. قسمت عمده این رسوبات توسط فرایندهای مرتبط با امواج عادی^۱ و یا چریان‌های کشنندی در فلات قاره‌ها و پهنه‌های کشنندی به وجود آمده‌اند [۳۵]. ویژگی منحصر به فرد محیط‌های متأثر از چریان‌های کشنندی تغییرات

¹ Fair-weather waves

خروج از آب در منطقه پایین‌تر از میانگین حد چزر یعنی زیرمحیط فروکشندی تشکیل شده‌اند (شکل‌های ۴A-D). تنوع بسیار کم فسیل‌ها و نیود چانوران دریایی نشانه شرایط محدود و محیط لاغونی این رخساره‌ها است. بافت وکستونی در پخش دورتر از ساحل و نسبتاً عمیق‌تر زیرمحیط فروکشندی تشکیل شده و بافت پکستونی هم معرف نواحی تزدیک‌تر به زیرمحیط میان کشندی است که بافت چشم پرتهای (فایریک فنسترا) هم در آن مشاهده می‌شود [۲۶ و ۵۳].

میکروبی (لامینیت‌ها) سازندگان اصلی رسوبات پیراکشندی سازند خانه‌کت هستند. خواص فیزیکی و ترکیب شیمیایی این کربنات‌ها به گونه‌ای است که می‌توان آن‌ها را به سه دسته رخساره‌های فروکشندی، میان‌کشندی و فراکشندی تقسیم کرد. رخساره‌های فروکشندی شامل مادستون تا وکستون پلوئیدی با آثار آشفتگی زیستی (P1) و وکستون تا پکستون بايوکلاستی با استراکود و شکم پا و پلوئید (P2) است. به دلیل گل فراوان و دهليزهای ناشی از فعالیت موجودات زنده در یک محیط آرام و کم اثری و با توجه به فقدان علائم



شکل ۴. تصاویر میدانی و میکروسکوپی از رخساره‌های فروکشندی بُرش الگوی سازند خانه کت: (A) دهليزها و آثار گرمی شکل (ورمیکولار) ناشی از فعالیت چانوران گل خوار در محیط آرام پایین‌تر از میانگین حد چزر؛ (B) تصویر میکروسکوپی مادستون آهکی تا وکستون پلوئیدی با آثار ناشی از آشفتگی زیستی؛ (C) پکستون بايوکلاستی با استراکود، شکم پا و پلوئید و (D) وکستون بايوکلاستی با استراکود، شکم پا و دوگفهای که همگی در زمینه گل آهکی (میکرات) پراکنده‌اند (XPL).

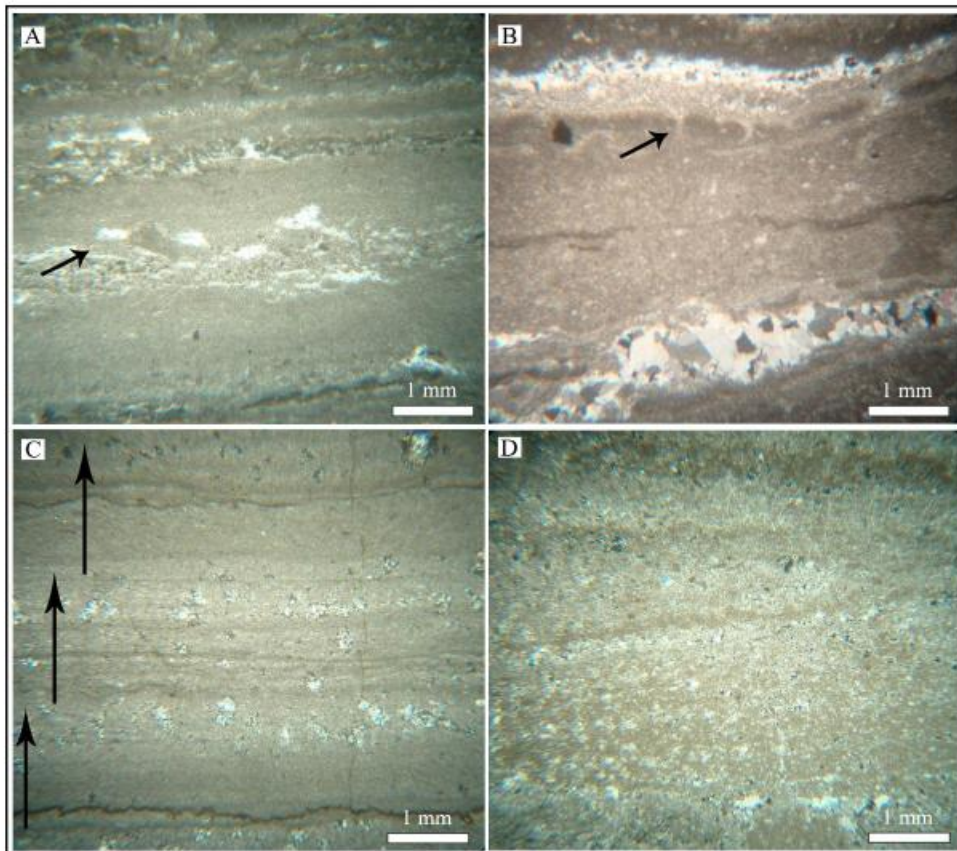
واردات آواری قابل شناخت است. فراوان‌ترین رخساره غیر توفانی در بُرش الگوی سازند خانه کت استروماتولیت مسطح (P4) است. لامینه‌های افقی و موجی استروماتولیت (میکروبیالیت‌ها) به طور عمده در تناوب با مادستون دولومیتی شده و در بعضی موارد با کانی‌های تیخیری همراه هستند (شکل‌های ۵A-C). یودن رسوبات تیخیری گواه آب و هوای گرم و خشک در زمان

کمریند رخساره‌ای میان کشندی با داشتن علائم ناشی از خروج روزانه رسوبات از آب مثل ترک‌های گلی کوچک و بافت و ساختهای شاخص رسوبات پیراکشندی از جمله ریپل مارک‌های موجی، چشم پرتهای [۴۰ و ۵۷] و ساختمان تپی^۱ [۴۵ و ۳۷] و افزایش کانی‌های تیخیری و

^۱ Tepee structure

زیرمحیط میان کشندی همخوانی دارد (شکل ۵D). در این بخش که از انزوی نسبتاً پیش‌تری برخوردار است، بافت‌های پکستونی و گرینستونی نیز فراوان‌تر هستند [۲۱].

رسوب‌گذاری و شرایط مشابه با مناطق جنوبی خلیج فارس امروزی است. در چنین شرایطی، استروماتولیت‌ها می‌توانند در بخش بالایی اینترتايدال تشکیل شوند [۲۴]. در مقابل، ویوگی‌های رخساره گرینستون پلوئیدی با لامیناسیون افقی و مورب (P3) با شرایط پیش پایین



شکل ۵. تصاویر میکروسکوپی از رخساره‌های پهنه کشندی بُرش الگوی سازند خانه‌کت: (A) باندستون استروماتولیتی-مادستون دولومیتی شده با بافت چشم برنده‌ای؛ (B) لامینه‌های موجی و ترک‌های گلی در رخساره استروماتولیتی پیش بالای زیرمحیط میان کشندی؛ (C) تکرار چرخه‌های پیراکشندی در مقیاس میکروسکوپی (علامت پیکان) متشكل از لامینه‌های استروماتولیتی میان کشندی و مادستون دولومیتی شده و تبخیری‌های فراکشندی و (D) رخساره گرینستون پلوئیدی با لامیناسیون افقی و مورب و بافت چشم برنده‌ای در پیش پایین میان کشندی (XPL).

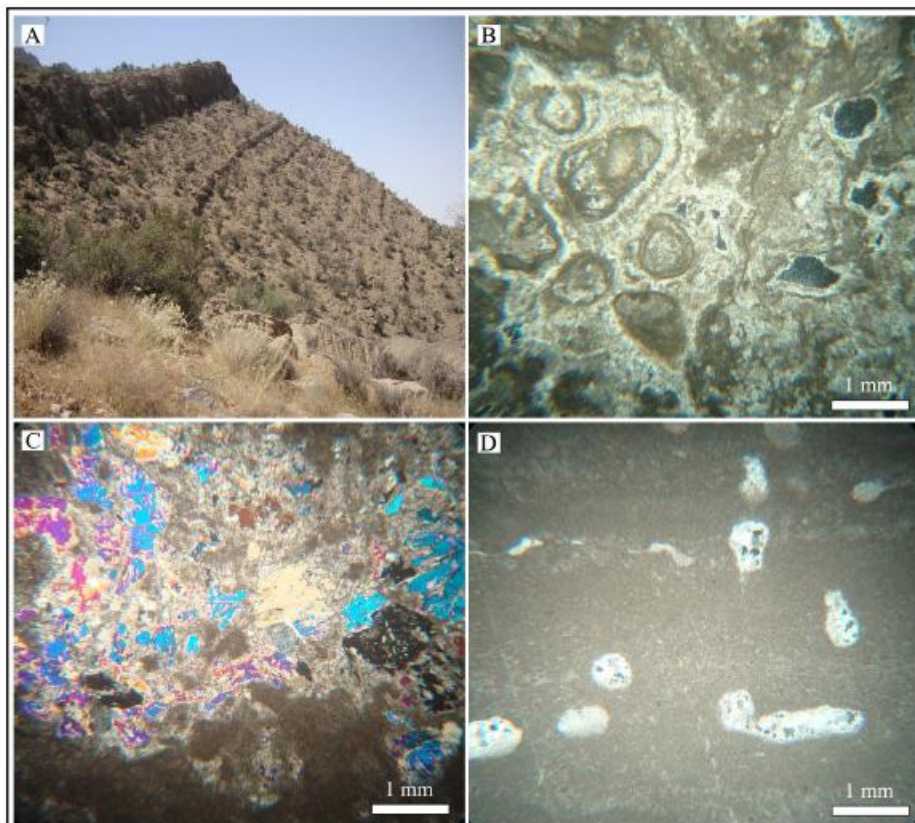
[۶]، الیکا در البرز [۴۰] و سرخ شیل در ایران مرکزی [۲۹] اشاره کرد. مهم‌ترین ویژگی رخساره‌های حاصل از زیرمحیط فراکشندی آثار ناشی از خروج نسبتاً طولانی مدت از آب و تماس با هوای آزاد است. شواهدی نظری برش‌های اتحالی و عوارض ناشی از دیاگنز چوی از جمله اتحال، توسعه خاک‌های آهکی (کالکریت یا کالیچی^۱)، پیزونیدهای ودوز^۲، افق‌های اکسید آهن و آثار ریشه

مقایسه فراوانی تسبی رخساره‌ها گوتاگون نشان داد که باندستون استرماتولیتی-دولومیتی رخساره اصلی پهنه کشندی سازند خانه‌کت است که در روی زمین به صورت چرخه‌های کم عمق شونده کوچک مقیاس میان کشندی-فراکشندی قابل مشاهده است (شکل ۶A). در مطالعات مشابه چرخه‌های پیراکشندی به عنوان سازندگان اصلی توالی‌های رسوبی زمان تریاس در سایر مناطق و حوضه‌های رسوبی ایران مطرّح شده‌اند. به عنوان نمونه باید به سازندهای دشتک در شمال خلیج فارس

^۱ Calichie
^۲ Vadoids

پرنده‌ای (P5)، مادستون دولومیتی شده با کانی‌های تبخیری (P6) و وکستون تا پکستون پیزونیدی (P7) مشکل از رسوباتی هستند که در سیخای پلاتقرم سازند خانه کت به وجود آمده‌اند (شکل‌های D-E).

گیاهان به عنوان ملاک شناخت رسوبات حاصل از زیرمحیط فراکشنده در مناطق خشک مطرح شده‌اند [۲۱ و ۵۵]. یخش فراکشنده مناطق گرم و خشک مثل سواحل امروزی جنوب خلیج فارس را سبک‌تر نامند [۱۳ و ۴۱]. رخساره‌های مادستون آهکی با بافت چشم



شکل ۶. (A) تصویر میدانی چرخه‌های به سمت بالا کم عمق شوئده (ضخیم شوئده) در مقیاس متر (پاراسکائنس) ناشی از جابجایی مکرر زیرمحیط‌های مختلف پهنه کشنده در بخش میانی توالی رسوبی مورد مطالعه و (B) (C) تصاویر میکروسکوپی از رخساره‌های گوناگون زیرمحیط فراکشنده (سبک) در پوش الگوی سازند خانه کت؛ (B) رخساره وکستون تا پکستون پیزونیدی با حفرات و تخلخل ناشی از انحلال جوی؛ (C) مادستون دولومیتی شده با کانی‌های تبخیری (زیپس و آنیدریت) و (D) مادستون آهکی با بافت چشم پرنده‌ای و آثار ریشه‌گیاه که با کلسیت پر شده‌اند (XPL).

محیط‌های تولید کربنات در عهد حاضر و گذشته محسوب می‌شوند [۴۹]. در این میان پلاتقرم‌های باز یا بدون حاشیه و رمپ‌ها جایگاه خاص و نمود پیش‌تری دارند و نهشته‌های توفانی یا تمپستایت‌ها یخشن قابل توجهی از رسوبات بر جای مانده از آن‌ها را تشکیل می‌دهند. در پلاتقرم‌های باز برخلاف انواع حاشیه‌دار، سدهای پیوسته مشکل از ریف‌ها یا پشت‌های ماسه آهکی^۱ وجود ندارند و یا از گسترش کافی برای محافظت

۴-۲-۴- دسته رخساره‌های توفانی

توفان یکی از فرایندهای مهم در جابجایی نهشته‌های محیط‌های دریایی کم عمق و فلات قاره‌های کربناته‌ای است [۲۳ و ۲۴]. با توجه به گسترش زیاد کارخانه‌های کربنات‌سازی در عرض‌های چهارمیانی پایین و وقوع توفان‌های مکرر در مناطق گرمسیری انتشار می‌رود یخشن عمده پلاتقرم‌های کربناته متأثر از توفان باشند. پلاتقرم‌های گرمسیری در محدوده عرض‌های نزدیک خط استوا (۰-۳۰ درجه شمالی و جنوبی) یافت می‌شوند و مهم‌ترین

^۱ Lime sand shoals

نهشته‌های توفانی می‌توان نتیجه‌گیری کرد که کرینات‌های پُرش الگوی سازند خانه‌کت عمدتاً در پهنه کشندی و پخش داخلی یک پلاتقرم باز تشکیل شده‌اند که به صورت متناوب تحت تأثیر توفان قرار می‌گرفته است. در مطالعات انجام شده بر روی رخمنون‌های سازند خانه‌کت در آشتaran کوه لرستان [۹] و ناحیه سروان در استان کرمانشاه [۳ و ۴] نیز مدل رسوبی این سازند از نوع رمپ متاثر از توفان تشخیص داده شده است. داده‌های موجود حاکی از آن است که حدود ۸۰ درصد از قلات قاره‌ها و پلاتقرم‌های امروزی تحت تأثیر امواج و جریان‌های ناشی از توفان^۶ هستند و در گذشته‌های زمین‌شناسی هم این مدل از دریاهای کم عمق فراوان‌تر بوده است [۴۲].

بررسی اجمالی تناوب حاصل از مطالعات انجام شده در ارتباط با شرایط محیطی رسوبات هم ارز سازند خانه‌کت در سایر مناطق مجاور زاگرس بلند از جمله سازندهای کنگان، دشتک و خوف حاکی از گسترش پسیار زیاد پلاتقرم تریاس در زاگرس چین خورده و خلیج فارس تا شمال عربستان است [برای نمونه ۷: ۶ و ۱۵ و ۳۲]. چنین شرایطی با الگوی دریاهای کم عمق پسیار وسیع یا اپیریک^۷ مطابقت می‌کند. نکته پسیار مهم در این میان تفاوت قابل توجه رخساره‌های رسوبی تریاس در زیرپهنه‌های مختلف زاگرس است. به گونه‌ای که می‌توان رخساره‌های عمدتاً کریناته سازند خانه‌کت در زاگرس بلند را از نهشته‌های کریناته-تبخیری سازندهای کنگان و دشتک در زاگرس چین خورده و خلیج فارس تفکیک نمود [۵۱ و ۵۴]. به عبارت دیگر، با وجود پیوستگی و تداوم پلاتقرم تریاس تقریباً در تمام حوضه زاگرس، رخساره‌های متقاوی از آن بر جای مانده است. این موضوع یکی از جنبه‌های مهم رسوب‌شناسی و چینه‌شناسی تریاس زاگرس است که تاکنون در ارتباط با دلیل یا دلایل آن بررسی دقیقی انجام نشده است. برای یافتن پاسخی قاتع کننده به این مسئله لازم است شرایط آب و هوایی، ساختار تکتونیکی و وضعیت سطح آب دریاهای به عنوان عوامل اصلی کنترل کننده رسوب‌گذاری پلاتقرم‌های کریناته در آن زمان بررسی شود. به اعتقاد غشیان [۲۷] رسوب‌گذاری و تکامل ساختاری دوره

از پخش داخلی پلاتقرم برخوردار نیستند [۲۶]. امواج ناشی از توفان بیشترین تأثیر را در منطقه پایین‌تر از قاعده امواج عادی و بالاتر از قاعده امواج توفانی دریا بر جای می‌گذارند [۱۸]. با این حال، با توجه به رویم چریان آب و توپوگرافی پستر دریا، شدت توفان و الگوی رسوب‌گذاری نهشته‌های توفانی در زیرمحیط‌های مختلف پلاتقرم اعم از پهنه کشندی، لاگون و سد (نژدیک به منشا^۸) تا مناطق نسبتاً عمیق‌تر دور از ساحل یا دریای باز (دور از منشا^۹) تشکیل می‌شود. رخساره‌های توفانی پخش‌های مختلف پلاتقرم از نظر اندازه ذرات، ضخامت لایه‌ها، محتوا و نسبت اینتراکلاست و خردنهای فسیلی (پایوکلاست‌ها)، ساختمان‌های رسوبی، الگوی چریان، بافت رسوب، مقدار گل (میکرایت) و سیمان و نوع فسیل‌ها تفاوت اساسی دارند [۳۳].

در پخش‌های مختلف توالی رسوبی پُرش الگوی سازند خانه‌کت نشانه‌هایی نظیر قاعده فرسایشی تاودانی شکل^{۱۰} در مقیاس مختلف، لایه‌بندی تدریجی، ریپل‌های موجی، لایه‌بندی مورب پشت‌های^{۱۱} و آمیختگی رخساره‌های محیط‌های متقاوی مشاهده می‌شوند که از تأثیر عوامل دیگری علاوه بر جریان‌های کشندی در رسوب‌گذاری کرینات‌های این سازند حکایت می‌کنند (شکل‌های A-۷D). مجموعه شواهد یاد شده معرف رخساره‌های ناشی از امواج و جریان‌های قدرتمند مرتبط با توفان هستند [۲۳ و ۲۶]. در مقاطع میکروسکوپی همراهی آنیدها و مادستون‌های لاگونی و دانه‌بندی تدریجی اینتراکلاست‌ها در واحدهای رسوبی با قاعده فرسایشی بیش از سایر موارد بر وجود نهشته‌های توفانی دلالت می‌کنند (شکل‌های A-D). با توجه به عنوان تمپسیات، در معوفی رخساره‌های توفانی سازند خانه‌کت از حرف T استفاده گردید و بر اساس ترکیب و تنوع آلومک‌های موجود در آن‌ها به دو دسته وکستون تا پکستون آنیدی با قاعده فرسایشی (T1) و گرینستون اینتراکلاستی و آنیدی با دانه‌بندی تدریجی (T2) تفکیک شدند. ستون رخساره‌های رسوبی پُرش الگوی سازند خانه‌کت در شکل ۹ ت Shan داده شده است. با کنار هم گذاشتن مجموعه شواهد مربوط به رخساره‌های پیراکشندی و حضور

^۱ Proximal tempestites

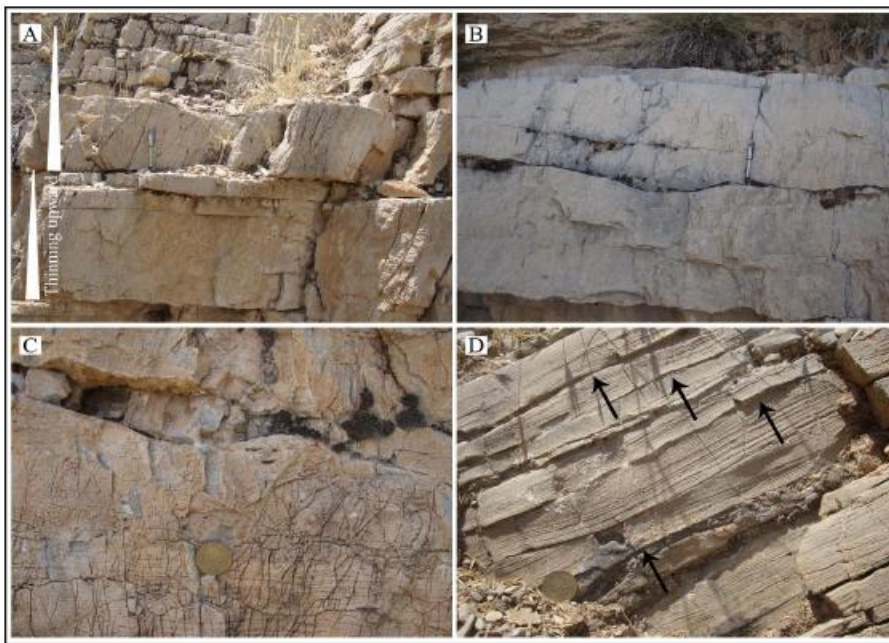
^۲ Distal tempestites

^۳ Gutter cast

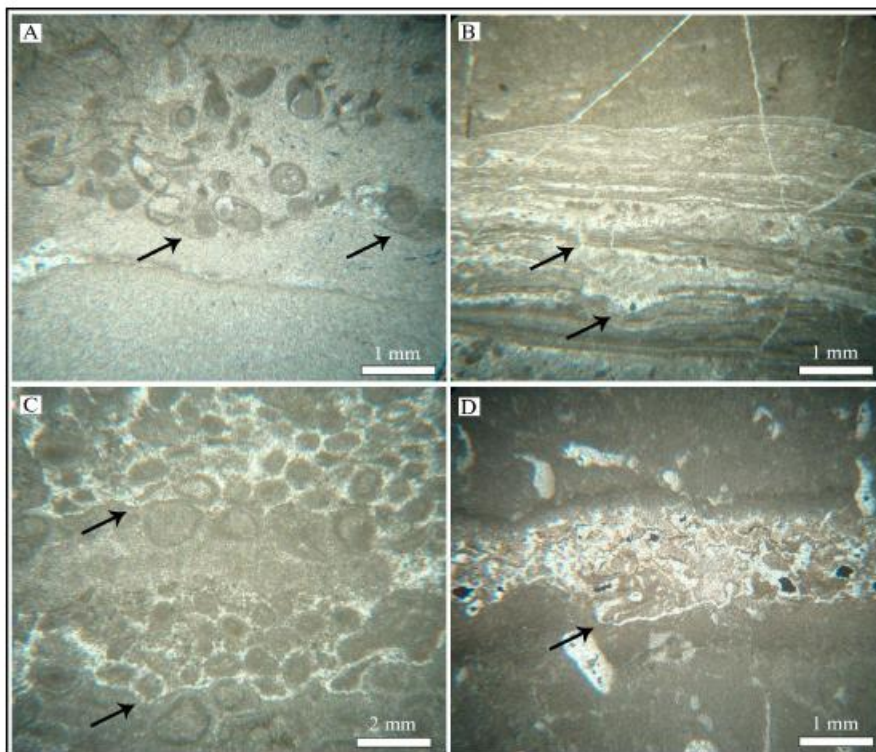
^۴ Hummocky Cross Stratification (HCS)

^۶ Storm dominated platform

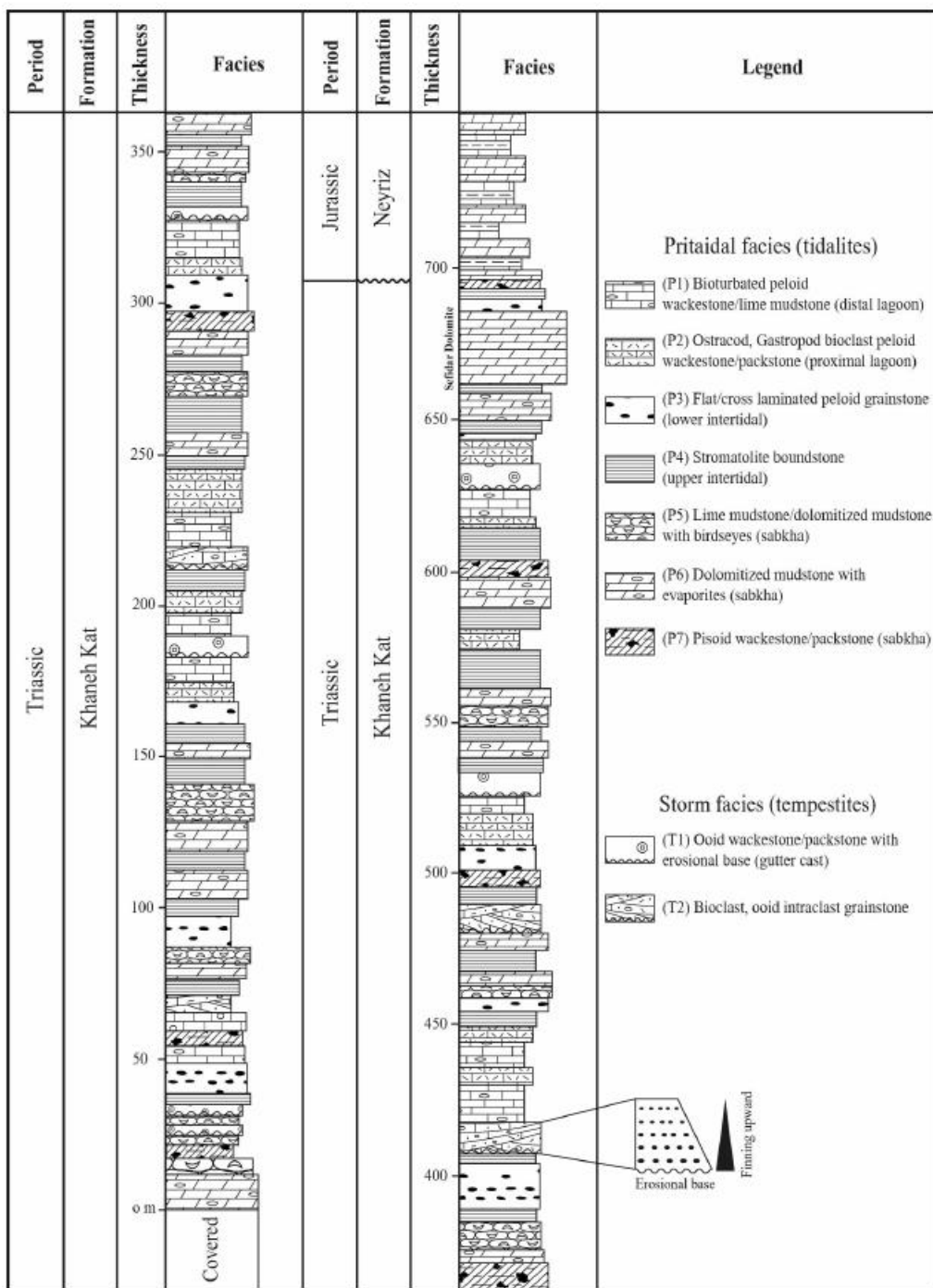
^۷ Epeiric sea



شکل ۷. تصاویر میدانی از ساختمان‌های رسوبی مرتبط با نهشته‌های توفانی بُرش الگوی سازند خانه کت: (A) تکرار لایه پندی تدریجی به سمت بالا نازک شونده ناشی از کاهش تدریجی قدرت جریان؛ (B) ریبل مارک موجی (نحویاً متقارن) و قالب پر شده آن (ریبل گست)؛ (C) قاعده فرسایشی ناودانی شکل و قالب پر شده آن (گاترگست)؛ و (D) تکرار نهشته‌های توفانی بُرشی (تمپسیت) با لامیناسیون مورب پشت‌های و تناب و آنها با لامینه‌های متتشکل از رسوبات متداول پهن‌هه کشندی



شکل ۸. تصاویر میکروسکوپی از رخساره‌های توفانی بُرش الگوی سازند خانه کت: (A) لامینه متتشکل از آنیده‌ها و اینترالاست در میان رخساره مادستون آهکی نسبتاً بکنوخت متعلق به زیرمحیط لاغون (فروکشنده)؛ (B) قطعه لامینه‌های رخساره پاندستون استروماتولیتی با گرینستون آنیدی اینترالاستی ناشی از امواج توفان، به قاعده فرسایشی ناودان مانند بخش توفانی و قالب پر شده آن (گاترگست) و ترک‌های گلی لامینه‌های استروماتولیتی توجه کنید که زیرمحیط میان کشنده را نشان می‌دهند؛ (C) تکرار توالی با دانه پندی تدریجی به سمت بالا ریز شونده (Finning upward)؛ و (D) لامینه متتشکل از رخساره گرینستون اینترالاستی با قاعده فرسایشی ناشی از توفان در میان مادستون آهکی با بافت چشم پرنده‌ای متعلق به زیرمحیط فراکشنده (XPL)



شکل ۹. ستون رخدارهای رسوبی پُرش الگوی سازند خانه کت (تریاس زاگرس بلند)

زمان تریاس حوضه زاگرس در عرض‌های جغرافیایی پایین (۱۷–۲۰ درجه جنوب استوا) و تحت تأثیر آب و هوای گرم و خشک قرار داشت [۲۸: ۲۹ و ۴۳]. چنین شرایطی همراه با پایین بودن سطح آب دریاهای منجر به رسوب‌گذاری نهشته‌های آواری، تبخیری‌ها و کربنات‌های دریایی کم عمق با نشانه‌هایی از خروج

تریاس در زاگرس کاملاً تحت تأثیر ادامه باز شدن اقیانوس تنوتنیس ناشی از حرکت ورقه ایران (قاره سیمری) به سمت شمال و دور شدن از ورقه عربی (قاره گندوانا) پوده است. از اوایل تریاس تا میانه‌های ژوراسیک این اقیانوس به بیشترین گسترش خود رسید، به گوته‌ای که پهنه‌ای آن را ۴۰۰۰ کیلومتر تخمین زده‌اند [۴۸]. در

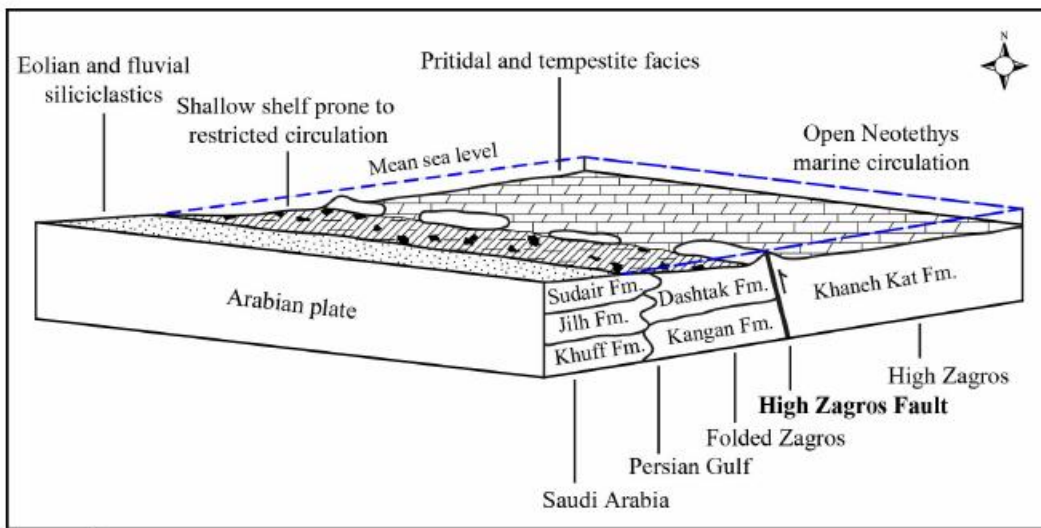
و محیط همسان با سازند خانه‌کت نهشته شده است. رخسارهای سنگی تریاس زاگرس بلند، البرز و ایران مرکزی آن قدر تشاپه دارتند که شرایط رسوب‌گذاری یکسان و حتی حوضه رسوی می‌شترک در زاگرس و مناطق شمالی آن را تداعی می‌کنند. این موضوع می‌تواند نشان دهنده به هم پیوستگی و ارتباط مناطق یاد شده دست کم تا زمان تریاس میانی باشد [۱ و ۲].

نتیجه‌گیری

مطالعات میدانی و آزمایشگاهی رخمنون‌های کریناته برش الگوی سازند خانه‌کت در منطقه فارس داخلی یا محدوده خاوری زاگرس بلند حاکی از آن است که این رسوبات عمدها پیراکشنی و حاصل تکرار چرخه‌های میان کشنندی-فرآکشنی در آب و هوای گرم و خشک تریاس هستند. در بعضی از افق‌های توالی رسوی سازند خانه‌کت شانه‌هایی نظری قاعده فرسایشی تاودانی شکل، لایه‌بندی تدریجی و لایه‌بندی مورب پشت‌هایی به چشم می‌خوردند که نشان از عملکرد امواج و جریان‌های توفانی در زمان تشکیل این سازند دارند. این شواهد نشان می‌دهند که مجموعه کرینات‌های پیراکشنی و نهشته‌های توفانی (تمپستایت‌ها) برش الگوی سازند خانه‌کت در پیش داخلي یک پلاتiform باز متاثر از توفان تشکیل شده‌اند. این پلاتiform بخشی از دریای اپیریک تریاس بوده که در حاشیه جنوبی اقیانوس نوتیس (شمال حاشیه غیر فعال گندوانا) گسترش داشته است. تقواوت آشکار رخسارهای رسوی تریاس حوضه زاگرس در دو سوی گسل زاگرس بلند حاکی از نقش مؤثر این گسل عمیق در کنترل هندسه حوضه و توزیع رخساره‌ها در پلاتiform آن زمان است. افزایش مشخص رسوبات تبخیری و نهشته‌های آواری در سازندهای کنگان، دشتک و خوف در کمریند چین خورده زاگرس، خلیج فارس و شمال عربستان بیانگر محدودیت محیط رسوی بخش جنوبی حوضه و نزدیکی آن به ساحل است. در مقابل، کاهش قابل توجه آواری‌ها و تبخیری‌ها و حضور بیشتر لایه‌های توفانی در سازند خانه‌کت نشان دهنده شرایط نسبتاً بازتر قسمت شمالی حوضه زاگرس و ارتباط آن با اقیانوس نوتیس است.

متناوب از آب شد [۵۸]. این داده‌ها نشان می‌دهند که دریای اپیریک تریاس و پلاتiform گستردۀ آن زمان حوضه زاگرس بخش قابل توجهی از حاشیه جنوبی اقیانوس نوتیس (شمال قاره گندوانا) را در بر گرفته بود. نکته مهم‌تر این است که مرز جدا کننده قلمرو رخساره‌های مختلف تریاس در حوضه زاگرس پسیار ناگهانی و بر جایگاه کنونی گسل زاگرس بلند منطبق است که کمریند زاگرس چین خورده و زیرینه زاگرس بلند را از هم جدا می‌کند (شکل ۱). با توجه به پویایی این گسل در فازروزئینیک [۱۶] می‌توانسته است با جایجاپی پستر حوضه، در تغییر رخساره‌ها و ستیرای نهشته‌های تریاس نقش آفرین باشد. این موضوع به خوبی تأثیر تکتونیک و تکاپوهای مرتبط با فعالیت گسل زاگرس بلند را در تعیین الگوی رسوب‌گذاری، هندسه حوضه و توزیع رخساره‌های رسوی پلاتiform کریناته تریاس آشکار می‌کند. به عبارت دیگر، با جایجاپی پستر حوضه رسوی در امتداد گسل زاگرس بلند، پلاتiform تریاس به دو بخش متقاول تقسیک شده بود. در قسمت جنوبی متجلّل از کمریند چین خورده زاگرس و مناطق کنونی پرامون خلیج فارس تا شمال عربستان رخساره‌های کریناته-تبخیری ناشی از محیط‌های نسبتاً محدود و کم عمق (لاگون و سیخا) به وجود آمدند که معرف الگوی رمپ سیخایی هستند. در مقابل، بخش شمالی پلاتiform که شامل محدوده فعلی زاگرس بلند است، امکان ارتباط بیشتر با اقیانوس نوتیس را داشته و شرایط محیطی نسبتاً بازتری بر آن حاکم بوده است. در نتیجه، کرینات‌های پیراکشنی و نهشته‌های توفانی رخساره‌های غالباً این بخش شدند و از حضور گستردۀ تبخیری‌ها چلوگیری به عمل آمد (شکل ۱). شرایط و الگوی مشابهی توسط لاسمی و همکاران [۳۹] برای نهشته‌های تریاس ایران مرکزی (سازند سرخ شیل) و البرز (واحد آهکی زیرین سازند الیکا) تشخیص داده شده است. مقایسه رخساره‌های رسوی تریاس زاگرس با ایران مرکزی و البرز به خوبی نشان می‌دهد که رخساره‌های عمدها پیراکشنی سازند سرخ شیل در شرایط مشابه با سازندهای کنگان و دشتک تشکیل شده‌اند. در حالی که واحد کرینات زیرین سازند الیکا لایه‌های توفانی متعدد دارد [۱۰] و در حاشیه غیر فعال اقیانوس پالنوتیس^۱ در شمال ایران (شمال قاره سیمری)

^۱ Paleotethys passive margin



شکل ۱۰. مدل ساده‌ای از بخش‌های متفاوت حوضه رسوبی زاگرس در ژمان تریاس؛ قسمت شمالی حوضه با عمق نسبتاً پیش‌تر، گردش آزادتر آب دریا و ارتباط با اقیانوس تنویریست مستعد رسوب‌گذاری رخسارهای عمده‌ای کریاتی و لایه‌هایی از نهشت‌های توپانی (سازند خانه‌کت) بوده است. جایجایی پس‌تر حوضه در امتداد گسل زاگرس پاشد منجر به محدود شدن بخش جنوبی حوضه شد که به خشکی نزدیک‌تر بوده است. این بخش ضمن دریافت مقادیر قابل توجهی واردات آواری از ورقه عربی، امکان تشکیل کریات‌های پراکشندی و تبخیری‌های سیاخایی (سازند‌های کنگان و دشتک) را داشته است.

کوه #۱، پایان‌نامه کارشناسی ارشد، دانشگاه تربیت معلم، ۹۸ صفحه.

[۴] ابراهیمی، د، فیاضی، ف، فیض نیا، س، و طهماسبی، ع، ر (۱۳۸۸) بررسی ریزخسارهای و محیط رسوبی سازند خانه کت در برش سیروان، باختیر ایران، بیست و هفت‌مین گردهمایی علوم زمین و سیزدهمین همایش انجمن زمین‌شناسی ایران، تهران، ۷ صفحه.

[۵] حاجیان، م (۱۳۸۵) بررسی رخساره، محیط رسوبی و چینه‌شناسی سکانسی سازند دشتک (کوه سورمه، کوه سیاه #۱، دالان #۱ و دشتک #۱) در ناحیه فارس، پایان نامه کارشناسی ارشد، دانشگاه آزاد اسلامی واحد تهران شمال، ۱۱۷ صفحه.

[۶] پوربابادی جلوگیر، ف (۱۳۹۳) ریزخسارهای و محیط رسوبی سازند دشتک در میدان گازی کیش، شمال خلیج فارس، پایان‌نامه کارشناسی ارشد، دانشگاه پیام نور اصفهان، ۱۶۲ صفحه.

[۷] پوربابادی جلوگیر، ف، ارزانی، ن، جلیلیان، ع، ح، و امیری بختیار، ح (۱۳۹۳) سیکل‌های رسوبی پریتايدال در سازند دشتک (تریاس) میدان گازی کیش شمال خلیج فارس، نخستین همایش ملی رسوب‌شناسی ایران، ۷ صفحه.

[۸] خشنودکیا، م، محسنی، ح، حاجیان، م (۱۳۹۰) چینه‌شناسی سکانسی توالی‌های کریاتی تبخیری سازند دشتک در چاه آغار #۱ و آغار باختری #۱ در میدان گازی آغار، فصلنامه علوم زمین، شماره ۷۹، صفحات ۱۸۲ - ۱۷۱.

تشکر و قدردانی

لازم است از همکاری دکتر حسن امیری بختیار و مهندس امیر صابری کارشناسان ارجمند شرکت ملی مناطق نفتخیز جنوب یزدی در اختیار گذاشتن تعدادی از مقاطع نازک مورد نیاز، دکتر ناصر ارزانی به خاطر ارائه نکته نظرات ارزنده، مهندس علی حبیب تزاده به خاطر مساعدت در فسیل‌شناسی نمونه‌ها، آقایان تیمور و محمود ترمسی به خاطر همراهی در مطالعات میدانی، سردبیر محترم، داوران و سایر دست‌اندرکاران ارجمند مجله رسوب‌شناسی کاربردی دانشگاه یوعلی همدان به خاطر پیگیری امور مربوط به داوری، پذیرش و چاپ این مقاله سپاسگزاری نمایم.

منابع

- [۱] آفانباتی، ع (۱۳۸۳) زمین‌شناسی ایران، انتشارات سازمان زمین‌شناسی و اکتشافات معدنی کشور، ۷۰۸ صفحه.
- [۲] آفانباتی، ع (۱۳۹۲) زمین‌شناسی ایران و کشورهای هم‌جوار؛ انتشارات سازمان زمین‌شناسی و اکتشافات معدنی کشور، ۷۱۰ صفحه.
- [۳] ابراهیمی، د (۱۳۸۸) بررسی سنگ‌شناسی و محیط رسوبی نهشت‌های پاتریس (سازند دشتک و سازند خانه‌کت) در برش سطح الارضی سیروان و برش تحت‌الارضی چاه کبیر

- [23] Einsele, G (2000) *Sedimentary Basins Evolution, Facies, and Sediment Budget*. Springer, 628 p.
- [24] Evans, G (1995) The Persian Gulf: A modern carbonate-evaporite factory; a review. *Cuadernos de Geología Iberica*, 19: 61-96.
- [25] Folk, R. L (1980) *Petrology of Sedimentary Rocks*. Hemphill Publishing Company, 182 p.
- [26] Flügel, E (2004) *Microfacies of carbonate rocks*. Springer, 976 p.
- [27] Ghazban, F (2007) *Petroleum geology of the Persian Gulf*. Tehran University Press, 707 p.
- [28] Golonka, J (2004) Plate tectonic evolution of the southern margin of Eurasia in the Mesozoic and Cenozoic. *Tectonophysics*, 381: 235-273.
- [29] Golonka, J (2007) Late Triassic and Early Jurassic palaeogeography of the world. *Palaeogeography, Palaeoclimatology, Palaeoecology*, 244: 297-307.
- [30] Golonka, J. and Kiessling, W (2002) Phanerozoic Time Scale and definition of time slices. SEPM, Special Publication No. 72, p. 11-20.
- [31] Immenhauser, A (2009) Estimating palaeo-water depth from the physical rock record. *Earth Science Review*, 96: 107-139.
- [32] Insalaco, E., Virgione, A., Courme, B., Gaillot, J., Kamali, S.A., Moallemi, M.R., Lotfpour, M. and Monibi, S (2006) Upper Dalan Member and Kangan Formation between the Zagros Mountains and offshore Fars, Iran: depositional system, biostratigraphy and stratigraphic architecture. *GeoArabia*, 11: 75-176.
- [33] James, N. P. and Kendall, A. C (1992) Introduction to Carbonate and Evaporite Facies Models. In: Walker, R. G. and James, N. P., (Eds) Facies models response to sea level change. Geological Association of Canada, p. 265-275.
- [34] James, G. A. and Wynd, J. G., 1965. Stratigraphic nomenclature of Iranian oil consortium agreement area. *AAPG Bulletin*, 49(12): 2182-2245.
- [35] Johnson, H. D. and Baldwin, C. T (1996) Shallow clastic seas. In: Reading, H. G., (Ed). *Sedimentary Environments: Processes, Facies and Stratigraphy*. Blackwell, p. 232-280.
- [36] Jones, B (1992) Shallow Platform Carbonates. In: Walker, R. G. and James, N. P., (Eds) Facies models response to sea level change. Geological Association of Canada, p. 277-301.
- [37] Kendall C. G. and Warren, J (1987) A review of the origin and setting of tepees and their associated fabrics. *Sedimentology*, 34:1007-1027.
- [۶] فلاخ خیرخواه, م (۱۳۸۵) *مطالعه فاسیس‌ها، محیط رسوبی و چینه‌نگاری سکانسی سازند دشتک و سازند خانه* کت در مقطع سطح‌الارضی دلانی (اشتران کوه) و چاه هلیلان #۱ در منطقه زاگرس. پایان نامه کارشناسی ارشد، دانشگاه آزاد اسلامی واحد علوم و تحقیقات تهران, ۱۰۳ صفحه.
- [۱۰] لاسمی، ی و جهانی، د (۱۳۸۰) *نهشته‌های توفانی بخش زیرین سازند الیکا* (تریاس زیرین). مجله علمی پژوهشی علوم پایه دانشگاه آزاد اسلامی، سال یازدهم، شماره ۴، صفحات ۳۰۲۴-۳۰۰۵.
- [۱۱] مطیعی، ه (۱۳۷۲) *چینه‌شناسی زاگرس*. سازمان زمین‌شناسی و اکتشافات معدنی کشور، ۵۳۶ صفحه.
- [12] Aigner, T (1985) *Storm Depositional Systems*. Springer, 174 p.
- [13] Ajmal Khan, M., Boer, B., Kust, G. S and Barth, H. J (2006) *Sabkha Ecosystem, Volume II: West and Central Asia*. Springer, 265 p.
- [14] Alavi, M (2004) Regional stratigraphy of the Zagros fold-thrust belt of Iran and its proforeland evolution. *American Journal of Science*, 304: 1-20.
- [15] Alsharhan, A. S. and Nairn, A. E. M (2003) *Sedimentary Basins and Petroleum Geology of the Middle East*. Elsevier, 878 p.
- [16] Berberian, M (1995) Master "blind" thrust faults hidden under the Zagros folds: active basement tectonics and surface morphotectonics. *Tectonophysics*, 241: 193-224.
- [17] Boggs, S (2009) *Petrology of Sedimentary Rocks*. Cambridge University Press, 600 p.
- [18] Burchette, T. P. and Wright, V. P (1992) Carbonate ramp depositional systems. *Sedimentary Geology*, 79: 3-57.
- [19] Davis, R. A. J (2012) *Tidal Signatures and Their Preservation Potential in Stratigraphic Sequences*. In: Davis, R. A. J. and Dalrymple, R. W., (Eds) *Principles of Tidal Sedimentology*. Springer, p. 35-55.
- [20] Davis, J. R. A. and Dalrymple, R. W (2012) *Principles of Tidal Sedimentology*. Springer, 621 p.
- [21] Demicco, A. V. and Hardie, L. A (1994) Sedimentary structures and early diagenetic features of shallow marine carbonate deposits. *Society for Sedimentary Geology Atlas, Series Number 1*, 265 p.
- [22] Dunham, R. J (1962) Classification of carbonate rocks according to depositional texture. In: Ham, W. E. (Ed) *Classification of Carbonate Rocks*. AAPG Memoir 1, p. 108-121.

- [51] Setudehnia, A. (1978) The Mesozoic sequence in southwest Iran and adjacent area. *Journal of Petroleum Geology*, 1(1): 3-42.
- [52] Sherkati, S., Letouzey, J. and Frizon de Lamotte, D (2006) Central Zagros fold-thrust belt (Iran): New insights from seismic data, field observation, and sandbox modeling. *Tectonics*, 25(4): 1-27.
- [53] Shinn, E. A (1983) Tidal Flat Environment. In: Scholle, P. A., Bebout, D. G. and Moore, C. H., (Eds) Carbonate depositional environments. AAPG Memoir 33: 171-210.
- [54] Szabo, F., and Kheradpir, A (1978) Permian and Triassic stratigraphy, Zagros basin, south-west Iran. *Journal of Petroleum Geology*, 1(2): 57-82.
- [55] Tucker, M. E. and Wright, V. P (1990) Carbonate Sedimentology. Blackwell, 482 p.
- [56] Wilson, J. L (1975) Carbonate Facies in Geologic History. Springer-Verlag, 471 p.
- [57] Wright, V. P (1984) Peritidal carbonate facies models: a review. *Geological Journal*, 19: 309-325.
- [58] Ziegler, M. A (2001) Late Permian to Holocene paleofacies evolution of the Arabian Plate and its hydrocarbon occurrences. *GeoArabia*, 6: 445-504.
- [38] Kvale, E. P (2012) Tidal Constituents of Modern and Ancient Tidal Rhythmites: Criteria for Recognition and Analyses. In: Davis, R. A. J. and Dalrymple, R. W., (Eds) Principles of Tidal Sedimentology. Springer, p. 1-17.
- [39] Lasemi, Y., Ghomashi, M., Amin-Rasouli, H. and Kheradmand, A (2008) The Lower Triassic Sorkh shale Formation of the Tabas block, east central Iran: succession of a failed-rift basin at the paleotethys margin. *Carbonates and Evaporites*, 23(1): 21-38.
- [40] Lasemi, Y., Jahani, D., Amin-Rasouli, H. and Lasemi, Z (2012) Ancient Carbonate Tidalites. In: Davis, R. A. J. and Dalrymple, R. W., (Eds) Principles of Tidal Sedimentology. Springer, p. 567-607.
- [41] Melvin, J. L (1991) Evaporites, Petroleum and Mineral Resources. Elsevier, 556 p.
- [42] Miall, A. D (2000) Principles of Sedimentary Basin Analysis. Springer, 616 p.
- [43] Murris, R. J (1980) Middle East: Stratigraphic evolution and oil habitat. AAPG Bulletin, 64(5): 597-618.
- [44] Myrow, P. M. and Southard, J. B (1996) Tempestite deposition. *Journal of Sedimentary Research*, 66: 875-887.
- [45] Pratt, B. R (2002) Tepees in peritidal carbonates: origin via earthquake-induced deformation, with example from the Middle Cambrian of western Canada. *Sedimentary Geology*, 153: 57-64.
- [46] Pratt, B. R., James, N. P. and Cowan, C. A (1992) Peritidal carbonates. In: Walker, R. G. and James, N. P., (Eds) Facies models—response to sea level change. Geological Association of Canada, p. 303-322.
- [47] Read, J. F (1985) Carbonate platform facies models. AAPG Bulletin, 69: 1-21.
- [48] Sadooni, F. N. and Alsharhan, A. S (2004) Stratigraphy, Lithofacies distribution, and petroleum potential of the Triassic strata of the northern Arabian plate. AAPG, 88(4): 515-538.
- [49] Schlager, W (2005) Carbonate Sedimentology and sequence stratigraphy. Society for Sedimentary Geology, 200 p.
- [50] Sepkoski Jr., J. J., Bambach, R. K. and Droser, M. L (1991) Secular changes in Phanerozoic event bedding and the biological overprint. In: Einsele, G., Ricken, W., Seilacher, A., (Eds) Cycles and Events in Stratigraphy. Springer, p. 298-312.